

4. Петунин А. Н. Методы и техника измерений параметров газового потока. М., «Машиностроение», 1972.
5. Борисенко А. И. Газовая динамика двигателей. ГНТИ, М., Оборонгиз, 1962.
6. Абрамович Г. Н. Теория турбулентных струй. М., Физматгиз, 1960.
7. Там К. Шум сверхзвуковых струй на режимах, близких к расчетным. Экспресс-информация, серия «Авиастроение», № 12, 1974.

УДК 621.45:533.697.4.001.24

Н. Г. Салманова, Ю. И. Цыбизов

К РАСЧЕТУ ПЛОСКИХ СВЕРХЗВУКОВЫХ СОПЛ

УСЛОВНЫЕ ОБОЗНАЧЕНИЯ

k — показатель адиабаты;
 M, α — число Маха и угол Маха;
 φ — угол расширения потока в течении Прандтля-Майера;
 w — скорость потока;
 θ — угол наклона вектора скорости к оси;
 r, \bar{r} — текущий радиус;

a — скорость звука.
 λ — коэффициент скорости;
 ρ, P, I — плотность, давление и импульс.

ИНДЕКСЫ:

0 — параметры заторможенного потока;
 кр — критический параметр.

Плоские сопла Лавала находят широкое применение в ракетной технике, в пневмонике, в эжекторных установках и т. д. В последнее время плоским соплам уделяется повышенное внимание в связи с тем, что они нашли применение для ускорения газового потока в аэродинамических сверхзвуковых шлюзах мощных лазеров [1]. Профилирование и расчет течения этих сопел производится хорошо разработанным методом характеристик с помощью ЭВМ, а результаты расчета обычно представлены в виде таблиц для ряда значений чисел M и показателей адиабаты течения k .

Однако в настоящее время для практики имеют значения такие методы, которые позволяют быстро рассчитать профиль сопла и течение в нем для любого значения числа M и величины k . В данной работе предпринята попытка разработки подобной методики и представлены некоторые результаты расчета.

ПРОФИЛИРОВАНИЕ СВЕРХЗВУКОВОЙ ЧАСТИ

Задача профилирования сверхзвуковой части сопла с плоской переходной поверхностью и равномерным потоком на выходе с заданным числом M разбивается на две (рис. 1):

- 1) расчет разгонного участка ABB_1C ;
- 2) расчет выравнивающего участка MM_1DD_1 .

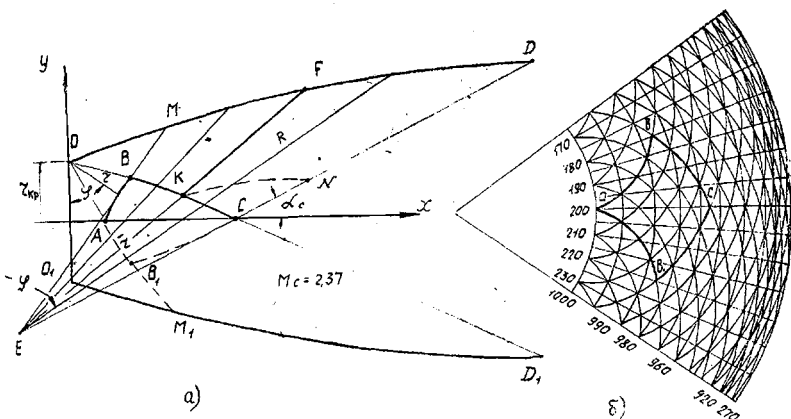


Рис. 1. Сверхзвуковая часть сопла Лавала: а) физическая плоскость течения; б) годограф скорости

1. Разгонный участок сопла

Будем считать, что осуществляется течение расширения однородного идеального сверхзвукового потока около угловых точек O и O_1 (рис. 1, а). Тогда разгон потока от плоской переходной поверхности до заданного числа M_c происходит в области ABB_1C взаимодействия центрированной простой волны разряжения от точек O и O_1 физической плоскости течения. Области ABB_1C соответствует область $abvc$ (рис. 1, б) плоскости годографа скорости. В случае однородного потока на выходе из сопла (т. е. при прямолинейной характеристике CD физической плоскости) углы отклонения потока возмущающими точками O и O_1 равны и, следовательно, справедливо равенство:

$$\Theta_b = \Theta_{b_1} = \frac{1}{2} \Theta_c = \frac{1}{2} \left[m \operatorname{arctg} \frac{\sqrt{M_c^2 - 1}}{m} - \operatorname{arctg} \sqrt{M_c^2 - 1} \right], \quad (1)$$

где $m = \sqrt{\frac{k+1}{k-1}}$.

Равенство (1) позволяет определить границы области *авв*с годографа.

Для расчета течения в физической плоскости введем полярную систему координат переменных r и φ . Дифференциальное уравнение характеристик в простой волне имеет вид [2]:

$$\frac{1}{r} \frac{dr}{d\varphi} = \operatorname{ctg} 2\alpha. \quad (2)$$

Интегрируя равенство (2), имея в виду, что $\operatorname{ctg} \alpha = m \operatorname{tg} \varphi$, получим

$$r = \frac{c}{\sqrt{\sin \varphi/m \cdot (\cos \varphi/m)^{m^2}}} = \frac{c}{(\lambda^2 - 1)^{1/2} (1 - \lambda^2/m^2)^{m^2/2}} = \frac{c}{j(\varphi)}, \quad (3)$$

где c — произвольная постоянная интегрирования;
 $j(\varphi)$ — вспомогательная функция.

Для простой центрированной волны разрежения, например *ОАВ* (рис. 1, а), константа c в выражении (3) определяется следующим образом.

Принимаем, что начальная точка *A* взаимодействия веера волн разрежения от точек *O* и *O*₁ принадлежит линии тока ζ течения Прандтля-Майера, уравнение которой

$$r = r_{кр} (\cos \varphi/m)^{-m^2}. \quad (4)$$

Тогда при $\varphi = \varphi_A$ и $r = r_A$ из совместного рассмотрения равенств (3) и (4) получим:

$$c = r_{кр} \sqrt{\frac{\sin \varphi_A/m}{(\cos \varphi_A/m)^{m^2}}} = r_{кр} \gamma(\varphi_A). \quad (5)$$

В дальнейшем принимаем $r_{кр} = 1$; $\gamma(\varphi) = \sqrt{\frac{\lambda^2 - 1}{(1 - \lambda^2/m^2)^{m^2}}}$ — вспомогательная функция, исследованная С. А. Христиановичем в работе [3].

Поместив начало полярной системы координат в точку *O* и учитывая равенства (3—5), получим уравнение характеристики *АВ*:

$$r = \gamma(\varphi_A) j(\varphi), \quad (\varphi_A \leq \varphi \leq \varphi_B). \quad (6)$$

Угол наклона начальной характеристики φ_A можно принять равным 1° . Значение угла φ_B определяется из условия (1) по формуле:

$$\varphi_B + \operatorname{arctg}(m \operatorname{tg} \varphi_B/m) = \frac{1}{2} \left[m \operatorname{arctg} \frac{\sqrt{M_c^2 - 1}}{m} - \operatorname{arctg} \sqrt{M_c^2 - 1} \right].$$

Кривая BC области $ABBC$ имеет новую систему полярных координат с началом в точке E . Угол между радиусом-вектором \bar{r}_B новой системы и r_B старой системы координат в общей точке B равен $2\alpha_B = 2(\arcsin 1/M_B)$.

Уравнение кривой BC имеет вид:

$$\bar{r} = R_E \cdot 1/j(\varphi), \quad (\varphi_B \leq \varphi \leq \varphi_C). \quad (7)$$

Постоянная R_E в (7) определяется из условия равенства расходов через характеристики AB и BC и равна:

$$R_E = \frac{[\gamma(\varphi_B) - \gamma(\varphi_A)]}{[\gamma(\varphi_C) - \gamma(\varphi_B)]} \cdot \gamma(\varphi_C).$$

2. Выравнивающий участок сопла

Стенка сопла $ОМД$ является линией тока. Участок $ОМ$ имеет прямолинейную границу, где угол $МОВ$ равен α_B . Стенка сопла $МД$ представляет линию тока в течении Прандтля-Майера и рассчитывается в системе координат с началом в точке E по формуле:

$$R = [(r_B + \bar{r}_B)(\cos \varphi_B/m)^{m^2}] (\cos \varphi/m)^{-m^2}. \quad (8)$$

Подобным же образом строится и нижняя половина сопла. Перейдем к декартовой системе координат, направив ось абсцисс вдоль оси симметрии сопла и совместив ось ординат с плоскостью критического сечения (рис. 1а).

Тогда координаты сверхзвуковой части сопла вычисляются по формулам:

$$\begin{aligned} \bar{x} = \frac{x}{r_{кр}} = & \left\{ \frac{\gamma(\varphi_A)}{j(\varphi_B)} + \left[\frac{\gamma(\varphi_B) - \gamma(\varphi_A)}{\gamma(\varphi_C) - \gamma(\varphi_B)} \right] \frac{\gamma(\varphi_C)}{j(\varphi_B)} \right\} \left(\frac{\cos \varphi_B/m}{\cos \varphi/m} \right)^{m^2} \cos \times \\ & \times \left[2 \operatorname{arc} \operatorname{ctg} m (\operatorname{tg} \varphi_B/m) - (\varphi - 2\varphi_B) - \frac{\pi}{2} \right] - \left[\frac{\gamma(\varphi_B) - \gamma(\varphi_A)}{\gamma(\varphi_C) - \gamma(\varphi_B)} \right] \frac{\gamma(\varphi_C)}{j(\varphi_B)} \times \\ & \times \cos \left[\operatorname{arc} \operatorname{ctg} m (\operatorname{tg} \varphi_B/m) + \frac{1}{2} \left(m \operatorname{arctg} \frac{\sqrt{M_c^2 - 1}}{m} - \right. \right. \\ & \left. \left. - \operatorname{arc} \operatorname{tg} \sqrt{M_c^2 - 1} \right) \right] - \frac{\gamma(\varphi_A)}{j(\varphi_B)} \sin \varphi_B; \end{aligned} \quad (9)$$

$$\begin{aligned} \bar{y} = \frac{y}{r_{кр}} = & \left\{ \frac{\gamma(\varphi_A)}{j(\varphi_B)} + \left[\frac{\gamma(\varphi_B) - \gamma(\varphi_A)}{\gamma(\varphi_C) - \gamma(\varphi_B)} \right] \frac{\gamma(\varphi_C)}{j(\varphi_B)} \right\} \left(\frac{\cos \varphi_B/m}{\cos \varphi/m} \right)^{m^2} \times \\ & \times \sin \left[2 \operatorname{arc} \operatorname{ctg} m (\operatorname{tg} \varphi_B/m) - (\varphi - 2\varphi_B) - \frac{\pi}{2} \right] - \\ & - \left[\frac{\gamma(\varphi_B) - \gamma(\varphi_A)}{\gamma(\varphi_C) - \gamma(\varphi_B)} \right] \frac{\gamma(\varphi_C)}{j(\varphi_C)} \cdot \frac{1}{M_c}. \end{aligned}$$

Координата точки C , расположенной на оси сопла, в которой достигается расчетная скорость истечения из сопла, определяется по формуле:

$$x_C = x - \left[\frac{\gamma(\varphi_B) - \gamma(\varphi_A)}{\gamma(\varphi_C) - \gamma(\varphi_B)} \right] \cdot \frac{\gamma(\varphi_C)}{\gamma(\varphi_C)} \cdot \cos \left(\arcsin \frac{1}{M_C} \right),$$

где X определяется по формуле (9) при $\varphi = \varphi_C$.

Кривизна стенки K профилированной сверхзвуковой части рассчитывается по формуле:

$$K' = \frac{\sin 2\alpha \cos \alpha}{(k+1)R} = \frac{2}{(k+1)} \frac{(M^2 - 1)}{M^2} \times \\ \times \left[\frac{1}{\left\{ \frac{\gamma(\varphi_A)}{\gamma(\varphi_A)} + \left[\frac{\gamma(\varphi_B) - \gamma(\varphi_A)}{\gamma(\varphi_C) - \gamma(\varphi_B)} \right] \frac{\gamma(\varphi_C)}{\gamma(\varphi_B)} \right\} \left(\frac{\cos \varphi_C / m}{\cos \varphi / m} \right)^{m^2}} \right].$$

Контроль правильности построения осуществляется:

1. Вычислением расхода через замыкающую характеристику CD

$$G_{CD} = \frac{1}{2} \rho_C a_C (R_{CD} - \bar{r}_C) = \frac{1}{2} G_{кр}.$$

2. Вычислением угла наклона замыкающей характеристики к оси сопла

$$\alpha_C = \left[2\alpha_B - \frac{\pi}{2} - (\varphi_C - 2\varphi_B) \right].$$

Сопоставление контуров сверхзвуковых частей сопла, профилируемых другими методами, и сравнение расчетных и экспериментально полученных распределений давлений вдоль стенки сопла проведено в работе [4].

РАСПРЕДЕЛЕНИЕ ПАРАМЕТРОВ И ЗАВИСИМОСТЬ ВЫХОДНОГО ИМПУЛЬСА ОТ ДЛИНЫ СОПЛА

Зависимости параметров сверхзвукового потока от угла расширения имеют вид: скорость звука $a, a_{кр} = \cos \varphi / m$; плотность потока $\rho = \rho_0 \left(\frac{1 + \cos 2\varphi / m}{k-1} \right)^{\frac{1}{k-1}}$; коэффициент скорости потока

$$\lambda = \frac{\omega}{a_{кр}} = \sqrt{\frac{k - \cos 2\varphi / m}{k-1}}; \text{ давление } P = P_0 \left(\frac{1 + \cos 2\varphi / m}{k-1} \right)^{\frac{k}{k-1}}.$$

Такое представление параметров потока и зависимость (9) текущих координат сверхзвуковой части сопла от угла φ позволяет построить распределение параметров вдоль стенки.

Для практических задач приходится ограничивать длину сверхзвуковой части, и течение на выходе из сопла отличается от равномерного. В связи с этим необходимо знать влияющие длины укорочения на потери импульса.

Рассмотрим задачу об определении выходного импульса в зависимости от длины.

За контрольный контур укороченного сопла принимаем контур FKC (рис. 1, а), составленный из прямолинейной характеристики второго семейства KE и криволинейной характеристики первого семейства KF (в силу симметрии, рассматривается только верхняя половина сопла). Тогда выходной импульс можно записать как сумму:

$$\frac{1}{2} I_{\text{вых}} = I_{FK} + I_{KC}. \quad (10)$$

Импульс определяется по формуле

$$I = \int_s (P + \rho a w \cos \Theta) ds. \quad (11)$$

В формуле (11) $ds = \sqrt{r^2 + \bar{r}^2} \cdot d\varphi$ — элемент дуги криволинейной характеристики BC .

В случае прямолинейной характеристики параметры потока вдоль нее постоянны и соотношение (11) для I принимает вид:

$$I_{KF} = (P_F + \rho_F a_F w_F \cos \Theta_F) r_{KF}.$$

Для криволинейной характеристики KC справедливо выражение:

$$I_{KC} = \int_{\varphi_K}^{\varphi_C} (P + \rho \cdot a \cdot w \cdot \cos \Theta) \cdot \sqrt{r^2 + \bar{r}^2} d\varphi. \quad (12)$$

Чтобы упростить операцию вычисления импульса I_{KC} по формуле (12), поступим следующим образом.

Выделим линию тока KN в течении Прандтля-Майера около возмущающей точки E и проходящую через точку K (рис. 1 а).

Для области KC контурный интеграл

$$\oint_s (P + \rho a w \cos \Theta) ds = R_{KC} + I_{KC} - I_{CN} = 0 \quad (13)$$

состоит из интегралов по характеристикам KC , CN и по линии тока KN .

Так как $R_{KN} = I_{EN} - I_{EK}$, то из (13) следует, что

$$I_{KC} = I_{EK} - I_{EN} + I_{CN} = I_{EK} - I_{EC}.$$

Подставляя выражения для I_{KF} и I_{KC} в выражение (10), окончательно получим

$$\begin{aligned} \frac{1}{2} I_{\text{вых}} &= I_{EK} - I_{EC} + I_{KF} = I_{EF} - I_{EC} = \\ &= \rho_0 r_{\text{кр}} a_{\text{кр}}^2 \left(\frac{2}{k+1} \right)^{\frac{1}{k-1}} \left[\sqrt{\frac{k - \cos 2\varphi_F/m}{k-1}} (\cos \varphi_F/m)^{m^2} \cos \Theta_F \bar{r}_{EF} + \right. \\ &+ \frac{(\cos \varphi_F/m)^{m^2+1}}{k} \cdot r_{EF} - \sqrt{\frac{k - \cos 2\varphi_C/m}{k-1}} \cdot (\cos \varphi_C/m)^{m^2} \bar{r}_{EC} - \\ &\left. \frac{\cos (\varphi_C/m)^{m^2+1}}{k} r_{EC} \right]. \end{aligned} \quad (14)$$

Текущий радиус в равенстве (14) определяется формулой:

$$r_{EF} = \left[\frac{\gamma(\varphi_A) + R_E}{j(\varphi_B)} \right] \left(\frac{\cos \varphi_B/m}{\cos \varphi_F/m} \right)^{m^2} = \left(\frac{A}{\cos \varphi_F/m} \right)^{m^2}, \quad (15)$$

$$\text{где } A = \left[\frac{\gamma(\varphi_A) + R_E}{j(\varphi_B)} \right] (\cos \varphi_B/m)^{m^2}.$$

Угол Θ_F определяется из рассмотрения картины течения в укороченном сопле, представленной в плоскости годографа скорости (рис. 1 б), в которой контрольному контуру FKC соответствует дуга эпициклоиды KC , и равен

$$\Theta_F = 2\Theta_B - \Theta_{F1},$$

$$\Theta_{F1} = \left[\left(\varphi_F + \arcsin \operatorname{tg} m \operatorname{tg} \varphi_F/m \right) - \frac{\pi}{2} \right]. \quad (16)$$

Таким образом, выходной импульс для укороченного сопла, отнесенный к произведению $2\rho_0 r_{\text{кр}} a_{\text{кр}}^2 \cdot \left(\frac{2}{k+1} \right)^{\frac{1}{k-1}}$ в функции угла расширения φ с учетом выражений (15) и (16), имеет вид:

$$\begin{aligned} \bar{I}_{\text{вых}} &= \left(\sqrt{\frac{k - \cos 2\varphi_F/m}{k-1}} \cdot \cos \Theta_F + \frac{\cos \varphi_F/m}{k} \right) A - \\ &- \left(\sqrt{\frac{k - \cos 2\varphi_C/m}{k-1}} + \frac{\cos \varphi_C/m}{k} \right) \cdot \frac{R_E}{j(\varphi_C)}. \end{aligned}$$

ВЫВОДЫ

На рис. 2 представлены профили сверхзвуковых частей идеальных плоских сопел Лавала с угловой точкой в критическом сечении и равномерным полем потока на выходе.

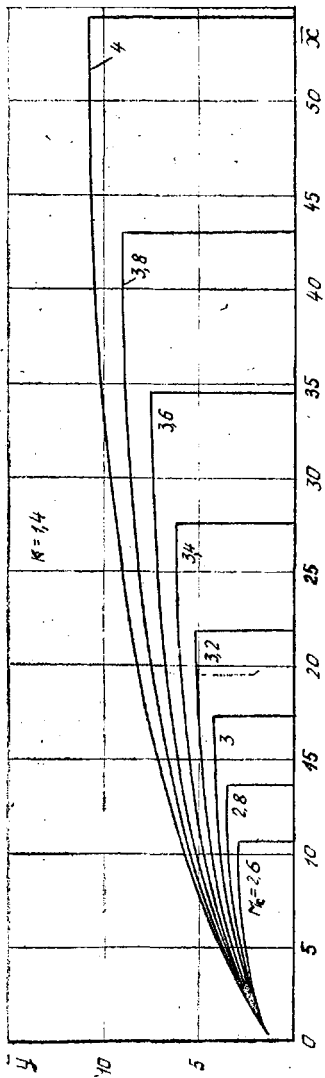


Рис. 2. Профили сверхзвуковой части

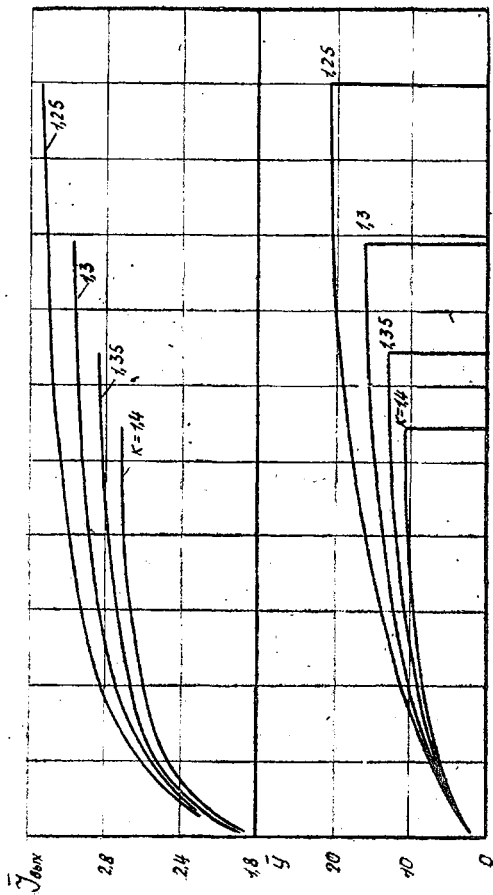


Рис. 3. Зависимости поперечного размера U и относительного выходного импульса $I_{\text{вых}}$ при M

Расчеты выполнены для $k = 1,4$ и чисел M от 2,6 до 4.

При $M_c = \text{const}$ на длину сверхзвуковой части сопла и поперечный размер сильное влияние оказывает величина показателя адиабаты течения (рис. 3). Причем с уменьшением величины k от 1,4 до 1,25 при $M = 4$ относительные координаты среза сопла \bar{x} и \bar{y} увеличиваются почти в 2 раза.

Здесь же, на рис. 3, иллюстрируется изменение относительного импульса сопла от его длины. Видно, что укорочение длины сопла \sim на 10—15% не оказывает существенного влияния на характеристики сопла.

Представленные расчеты проведены на ЭВМ М 220М.

ЛИТЕРАТУРА

1. *Парментьер, Гринберг.* Сверхзвуковые аэродинамические шлозы для мощных лазеров. «Ракетная техника и космонавтика». АИАА том 11, № 7, 1973.
2. *Мизес Р.* Математическая теория течений сжимаемой жидкости. М., ИИЛ, 1961.
3. *Христианович С. А.* Приближенное интегрирование уравнений сверхзвуковых течений газа. ПММ, М., 1974, т. XI, 2.
4. *Цыбизов Ю. И.* Исследование плоских течений сжимаемой жидкости с использованием представлений годографа скорости. Автореферат кандидатской диссертации. Казань, 1971.